

Chap 3 (suite)

$$\vec{T}_M = \begin{pmatrix} \cos \phi & \cos h \\ \cos \phi & \sin h \\ \sin \phi \end{pmatrix}$$

$$\vec{T}_S = \begin{pmatrix} \cos \delta \\ 0 \\ \sin \delta \end{pmatrix}$$

$$\vec{T}_M \cdot \vec{T}_S = \cos \theta = \cos \phi \cos h \cos \delta + \sin \phi \sin h \sin \delta$$

latitude

angle horaire (longitude)

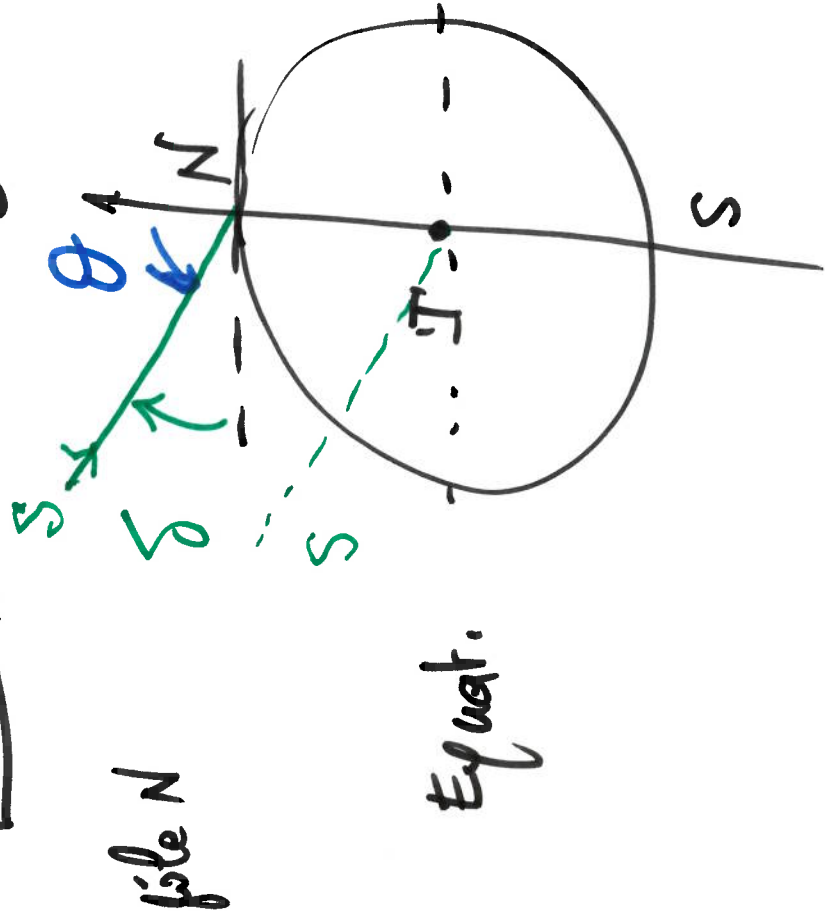
déclinaison = f(δ, ε)  
(saison)



(13)

Poles

$$\Phi = \pm \pi/2 \Rightarrow \cos \theta = \pm \sin \delta \quad \forall R$$



$$\theta = \pi/2 - \delta$$

élévation

$$\pi/2 - \theta$$

ici élévation = déclinaison

14) Durée du jour

$$\text{jour} \Leftrightarrow \cos \theta > 0$$

crépulescules

$$\text{jour} \quad \cos \theta_0 = 0$$

à dire  $\alpha \pm h_0$

$$\cos \Phi \cos h_0 \cos \delta + \sin \phi \sin \delta = 0$$

trois des pôles

$$\cos h_0 = -\tan \phi \tan \delta$$

durée du jour

$$\Delta h = 2h_0 = 2 \arccos(-\tan \phi \tan \delta)$$

$$\cos h_0 = 0 \quad h_0 = \pi/2$$

① Équateur

$$\text{ou Équinoxes} \quad \delta = 0$$

À saison

$$\Delta h = \pi$$

12<sup>h</sup> éphémère

115 durée du jour

x Cercles polaires = latitude  $\Phi_0$  t.g.  $|\Phi| > \Phi_0$   
 $\Rightarrow$  on peut avoir des journées  
ou des nuits de  $24^h$

• jour de  $24^h$   $Ah = 2\pi$   $h_0 = \pi$   $\int \Phi \cos \delta = 1$

$$\Phi = \pi/2 - \delta \quad (\text{modulo } \pi)$$

$$\Phi = \pm \pi/2 - \delta \quad \text{H. Nord } \Phi = \pi/2 - \delta$$

avec  $\delta > 0$

$$\Phi_0 = \pi/2 - \varepsilon \quad \text{H. N.}$$

$$\Phi > \pi/2 - \varepsilon = 66,5^\circ$$

$\Rightarrow$  jour de  $24^h$  au solstice  
sur cirle  
polaire

$$\text{H.S. } \Phi = -\pi/2 - \delta$$

$$\delta < 0 \quad \text{2}^{\text{de}} \text{ hémisphère austral } \Phi < -66,5^\circ$$

• nuit de  $24^h$

$$AR = 0 \quad h_0 = 0$$

$$\int \Phi \cos \delta = -1$$

$$\Phi = \pm \pi/2 + \delta$$

$$\delta < 0 \quad \text{H. N.}$$

hiver boreal

$$\delta > 0 \quad \text{H. S.}$$

hiver austral

(16)

Eclairçement moyen journalier  $\bar{F}$   
flux / unité de surface zelle en haut de l'atmosphère

Multiplier l'effet de l'excentricité (7% entre max et min)  
 $\frac{q_{max}}{q_{min}} = \frac{1+e}{1-e} \approx 1.07$

$\approx 1 + 4e$

$\bar{F} = C \sum_{\theta} = C \langle \cos \theta \rangle_{\text{journalière}}$

$\bar{F} = \frac{C}{\pi} \int_{-h_0}^{+h_0} \cos \theta (h) dh$   $\Phi, \delta$  fixes

$\bar{F} = \frac{C}{\pi} \int_{-h_0}^{+h_0} (\cos \Phi \cos h \cos \delta + \sin \Phi \sin \delta \sin h) dh$

$\bar{F} = \frac{C}{\pi} [h_0 \sin \Phi \sin \delta + \sin h_0 \cos \Phi \cos \delta]$

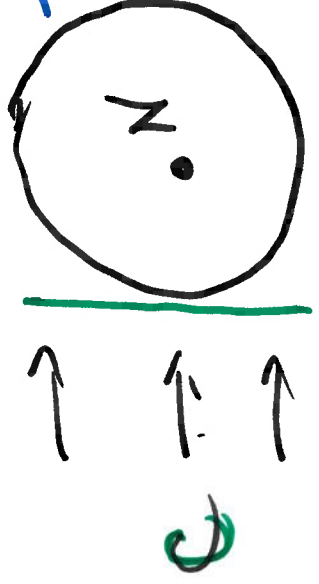
(17) Eclaircissement journalier: Cas particulier

(a) Eywinexed  $\delta = 0$   $h_0 = \pi/2$

$\bar{F} = \frac{C}{\pi} \cos \Phi$

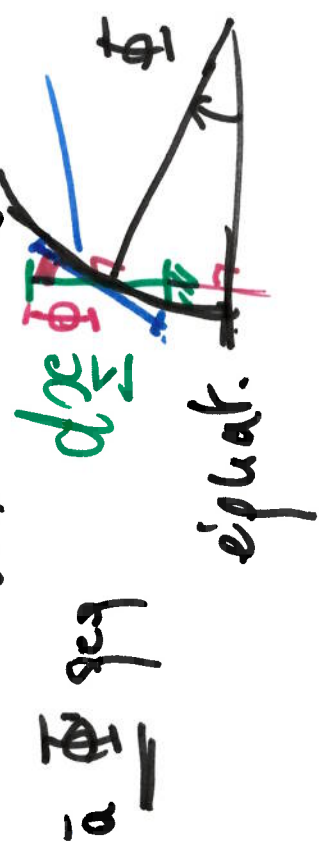
max à l'équateur  $\bar{F} = \frac{C}{\pi}$   
 $F_{\max}(\Phi = 0) = 0,32 C = 435 \text{ W/m}^{-2}$

→ -équateur  
 bande de latitude



surface réelle  $2\pi R dx = dS$   
surface projetée  $2R dx = d\Sigma$

$\bar{F} = C \times \frac{d\Sigma}{dS} = \frac{C}{\pi} \frac{dx}{dx_s} = \cos \Phi$



$\Rightarrow \cos \frac{\pi \Phi}{\pi}$

18

Pôle N. avec  $\delta > 0$

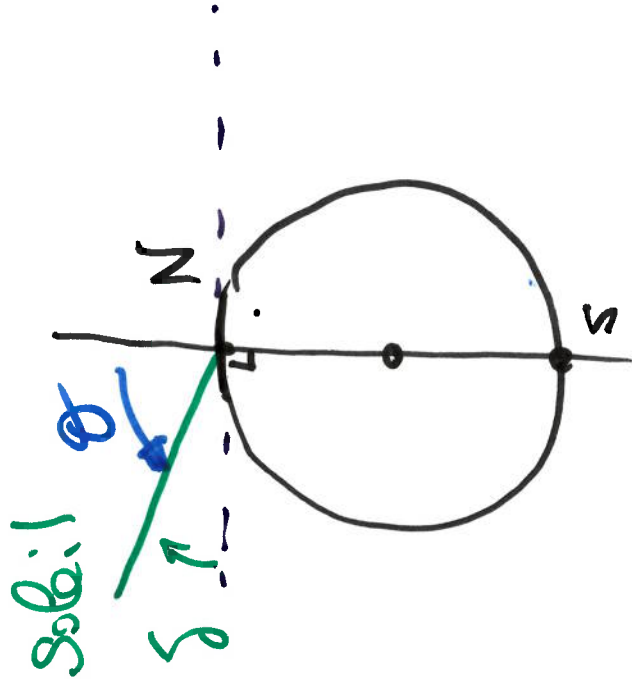
$$\frac{\delta}{2} = \pi/2 \Rightarrow h_0 = \pi$$

$$\delta > 0 \Rightarrow C \cos(\pi/2 - \delta)$$

$$\bar{F} = \frac{C}{\pi} \sin \delta = C \sin \delta$$

$$\theta = \pi - \delta$$

sol. i l



$$F_{\max} \Rightarrow \pi - \delta \text{ min} \Rightarrow \delta = \epsilon$$

solstice d'été

$$F_{\max} = C \sin \epsilon = C \cos(\pi/2 - \epsilon) = 0,40 C = 549 \text{ W m}^{-2}$$

19

Chap 4

Absorption  
Diffusion

Equ. du transport radiatif  
en flux //

I Absorption : répart. verticale verticale en flux //

Processus en réaction dans l'atmosphère

Ray de 1 // (1) Emission  $L(\lambda, \vec{\Omega}) = \epsilon \left( \frac{dE}{d\lambda} \right) B(\lambda, T)$

(2) Absorption

gaz atmosphérique : sélectif  
particules / aérosols  
nuages / aérosols + nuages

(3) Diffusion

pu de diff de l  
+ source de l'air  
+ surface Terre

(62)

Diffusion

